

# Kiek dislokacijų galima sutalpinti InGaN junginyje neprarandant našumo?

## How many dislocations an InGaN alloy can fit without losing efficiency?

Žydrūnas Podlipskas<sup>1</sup>, Kazimieras Nomeika<sup>1</sup>, Mariamija Nikitina<sup>1</sup> ir Ramūnas Aleksiejūnas<sup>1</sup>

<sup>1</sup>Vilniaus universitetas, Fotonikos ir nanotechnologijų institutas, Saulėtekio al. 3, LT-10257 Vilnius

[zydrunas.podlipskas@ff.vu.lt](mailto:zydrunas.podlipskas@ff.vu.lt)

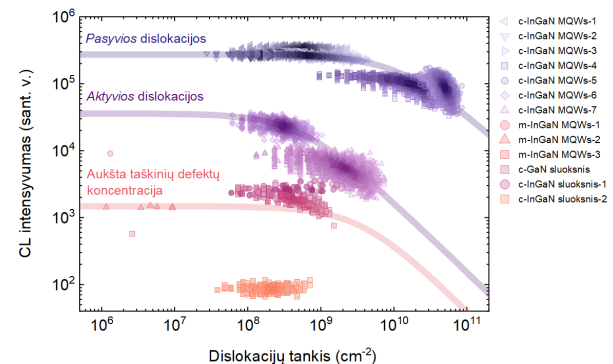
Norint įvertinti defektų įtaką InGaN junginių luminescencijos našumui (angl. trumppinys IQE) išrastai yra pasitelkiami modeliniai bandinių rinkiniai su kruopščiai parinktais dislokacijų ar taškinų defektų tankiais. Siekdami to išvengti mes sukūrėme algoritmą, galintį atskleisti sąryši tarp IQE ir defektų tankio pavieniuose niekuo neypatinguose bandiniuose, o ne koordinuotuose jų rinkiniuose. Papildomai, mes suradome būdą, leidžiantį apjungti pastarojo sąryšio duomenis su difuzija ribotos rekombinacijos (angl. trumppinys DLR) modeliu, ir gebantį atskirti dislokacijų ir taškinų defektų indėlius našumo krytyje bei nustatyti dislokacijų aktyvumo lygi nespindulinės rekombinacijos procese.

Algoritmo seka yra ši:

- (i) išmatuojama didelį bandinio plotą apimanti antrinių elektronų (angl. trumppinys SE) ir katodoluminescencijos (angl. trumppinys CL) vaizdų pora;
- (ii) vienas iš vaizdų yra apdorojamas gausiniu-laplacianiniu briaunų atpažinimo filtru [1], padedančiu automatiškai identifikuoti dislokacijas;
- (iii) SE-CL vaizdai yra padalinami į tūkstančius skirtingo ploto sektorius, suteikančių informaciją apie lokalų dislokacijų tankį ir jį atitinkantį lokalų CL intensyvumą;
- (iv) pasitelkus šiuos duomenis yra sukonstruojama bandiniui unikali CL intensyvumo priklausomybė nuo dislokacijų tankio;
- (v) dinaminį difrakcinį gardelių ir fotoluminescencijos eksperimentais yra įvertinamos difuzijos koeficiente, krūvininkų gyvavimo trukmės ir IQE vertės;
- (vi) pasitelkus pastarąsias vertes bei ABC modelį [2] nustatomi  $A_{SRH}$ ,  $B$  ir  $C$  rekombinacijos koeficientai, pritaikomi DLR modelyje;
- (vii) atsižvelgiant į IQE matavimus yra sukalibruojama CL intensyvumo priklausomybė nuo dislokacijų tankio ir atliekama modifikuoto DLR modelio [3] aproksimacija; ši turi tik vieną laisvai keičiamą parametrą –  $S$ , aprašantį nespindulinę rekombinacijoje dalyvaujančių dislokacijos būsenų dalį ( $0 \div 1$ ), arba kitaip – dislokacijos aktyvumo lygi.

Šis algoritmas buvo panaudotas tiriant įvairios kilmės InGaN darinius: nuo  $c$  plokštumos sluoksniių iki  $c$  ar  $m$  plokštumos daugybinių kvantinių duobių struktūrų (angl. trumppinys MQWs). Algoritmas atskleidė visus InGaN bandinius esant itin skirtingais: kai kurie jų gali „pasigirti“ dislokacijų tankiu, viršijančiu  $1 \times 10^{10} \text{ cm}^{-2}$ , ir

karto – netikėtai aukštu IQE (juose  $S = 0.05$ , kas atspindi *pasyvias* dislokacijas); kiti bandiniai patiria stagių IQE krytių dislokacijų tankui viršijus  $1 \times 10^9 \text{ cm}^{-2}$  (juose  $S = 0.4$ , tad dislokacijos – *aktyvios*), o dalis jų pasižymi itin aukšta taškinų defektų koncentracija ir kritiškai žemu IQE, nors dislokacijų tankis tesiekia  $1 \times 10^6 \text{ cm}^{-2}$ .



1 pav. Lokalaus CL intensyvumo priklausomybė nuo dislokacijų tankio įvairios kilmės InGaN dariniuose; ištisinėmis linijomis žymimos skirtingus atvejus atitinkančios DLR modelio aproksimacijos: *pasyvių* dislokacijų, *aktyvių* dislokacijų ar aukštos taškinų defektų koncentracijos įtaka IQE.

Reikšminiai žodžiai: *InGaN*, *dislokacijos*, *katodoluminescencija*, *rekombinacija*, *difuzija*, *dinaminės difrakcinės gardelės*, *skaitmeninis vaizdų apdorojimas*.

## Literatūra

- [1] [https://scikit-image.org/docs/stable/api/skimage.feature.html#skimage.feature.blob\\_log](https://scikit-image.org/docs/stable/api/skimage.feature.html#skimage.feature.blob_log) aplankytą 2023-09.
- [2] Nomeika et al., *J. Mater. Chem. C.*, **10.5**, 1735 (2022).
- [3] Karpov and Makarov, *Appl. Phys. Lett.*, **81**, 4721 (2002).